

CLIPPERS 需与中枢神经系统血管炎、多发性硬化、淋巴瘤样肉芽肿相鉴别。中枢神经血管炎主要侵犯脑膜及脑实质的中、小血管, 血管造影可见多发血管交替狭窄和扩张, 呈“串珠样”改变; 多发性硬化病灶多位于脑室旁, 其病灶长轴与脑室垂直, 无“胡椒面”征; 淋巴瘤样肉芽肿与 CLIPPERS 鉴别困难,

确诊需依靠病理。CLIPPERS 患者对类固醇激素十分敏感, 大剂量激素冲击治疗后患者临床症状及影像学均可明显改善, 后期需以小剂量激素或其他免疫抑制剂长期维持治疗, 激素撤退过早或减量过快可导致病情复发甚至加重。

## Aggressive fibromatosis of bladder: Case report 膀胱侵袭性纤维瘤病 1 例

郭威, 梁治平, 曾旭文

(广州市红十字会医院 暨南大学医学院附属广州红十字会医院放射科, 广东 广州 510630)

[Key words] Bladder; Aggressive fibromatosis; Tomography, X-ray computed

[关键词] 膀胱; 侵袭性纤维瘤病; 体层摄影术, X 线计算机

DOI: 10.13929/j.1003-3289.201607052

[中图分类号] R737.1; R445 [文献标识码] B [文章编号] 1003-3289(2017)01-0160-01

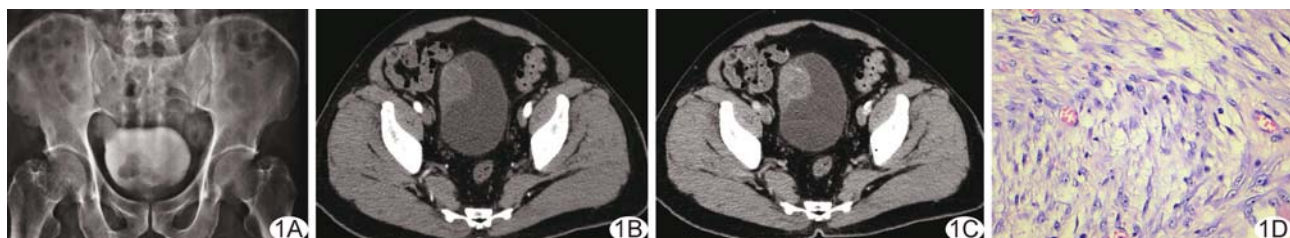


图 1 膀胱侵袭性纤维瘤病 A. 静脉肾盂造影; B. CT 增强扫描动脉期; C. CT 增强扫描静脉期; D. 病理图(HE, ×200)

患者男, 63岁, 因“尿频、尿急、尿痛伴全程肉眼血尿4天”入院。查体: 双肾区无叩击痛, 双侧输尿管走行及膀胱区无压痛。静脉肾盂造影: 膀胱内可见不规则充盈缺损, 提示恶性肿瘤可能性大(图1A)。超声: 膀胱壁实质性占位, 考虑膀胱癌。CT: 膀胱右前壁肿物, 宽基底, 邻近膀胱壁增厚, 大小约为4.8 cm×3.6 cm×5.1 cm, 边界清晰, 平扫CT值约31HU, 增强扫描病灶呈不均匀缓慢强化, 动脉期CT值约41HU(图1B), 静脉期CT值约47HU(图1C), 延迟期CT值约59HU, 诊断考虑为膀胱癌。膀胱镜: 膀胱顶底部偏右侧可见球型肿物, 表面光滑, 直径3~4cm, 质硬且弹性、韧性较好, 宽基底, 基底周围膀胱黏膜略充血、水肿。肿瘤切除术中见肿物呈黄色肌纤维样, 达浅肌层, 基底部较深在, 质地呈絮状。术后病理: 纤维性梭形细胞呈束状或编织状排列, 细胞间疏松水肿, 细胞核肥大、形态一致, 可见嗜酸性核仁, 核分裂象罕见, 肿瘤组织间

可见膀胱壁平滑肌组织被浸润(图1D)。免疫组化: β-catenin(细胞浆+), CD99(+), Des(-), SMA(+), S-100(-), ALK(-), HMB45(-), CD9(-), CK9(-), EMA(-), Myogenin(-), MyoD1(-), CD34(-), CD31(-), P53(-), Ki-67(阴性细胞约2%)。病理诊断:(膀胱)侵袭性纤维瘤病(aggressive fibromatosis, AF)。

**讨论** AF为少见的间充质肿瘤, 又称韧带样纤维瘤病。组织学特征包括纤维母细胞及肌纤维母细胞增生, 生物学行为介于良性纤维肿瘤及纤维肉瘤之间, 不发生转移但呈浸润性生长, 复发率和病死率均较高。依据生长部位, AF可分为腹外型(约60%)、腹壁型(约25%)和腹内型(约15%), 其中腹内型好发于腹膜后间隙及肠系膜, 发生于膀胱壁者罕见。膀胱AF需与膀胱癌相鉴别, 但术前诊断较为困难。本例患者术前静脉肾盂造影、超声、CT检查均倾向于膀胱癌。膀胱癌是泌尿生殖系统最常见的恶性肿瘤, 好发于老年男性, 肿瘤表面欠光滑, 多为菜花或乳头状, CT扫描多数密度均匀, 可伴钙化, CT增强早期明显强化。AF病灶表面较光滑, 密度可不均匀, CT增强扫描呈轻、中度缓慢持续强化。

[第一作者] 郭威(1990—), 女, 湖北枣阳人, 在读硕士。

E-mail: 547157822@qq.com

[收稿日期] 2016-07-10 [修回日期] 2016-10-03